

**МАТЕМАТИЧЕСКИЕ МОДЕЛИ КВАЗИОПТИМАЛЬНОГО ДВИЖЕНИЯ
ЭЛЕКТРОПРИВОДА ТРАМВАЯ С УЧЕТОМ ОГРАНИЧЕНИЙ
НА СКОРОСТЬ, УСКОРЕНИЕ И РЫВОК**

Введение. В работах [1, 2] авторов данной статьи решена вариационная задача оптимизации электропривода трамвая по критерию минимума потерь электроэнергии в якорных цепях и получены математические модели процессов изменения угловой скорости вращения роторов приводных двигателей и процессов изменения тока в их якорных цепях в оптимальном режиме. В работе [3] эта же задача решена с учетом ограничений по угловой скорости вращения роторов приводных двигателей и получены математические модели их квазиоптимального движения.

Постановка задачи исследования.

Целью настоящей работы является получение математических моделей для угловой скорости вращения роторов приводных двигателей трамвая в задаче оптимизации по тому же критерию, но с учетом не только ограничений по скорости, но и ограничений по ускорению и рывку, которые накладываются на параметры движения транспортных средств, перевозящих людей.

Решение задачи. Будем исходить из того, что задача оптимизации электропривода трамвая по критерию минимума потерь электроэнергии в якорных цепях с учетом ограничений по угловой скорости уже решена и получена математическая модель квазиоптимального движения в виде, представленном в работе [3], т.е. в виде:

$$v_{ко}(\tau) = \begin{cases} \frac{a_1^2}{4\lambda_0^{ПП} \cdot b_1} \cdot \left(\frac{1}{b_1 \cdot (1 - b_1 \cdot (C^{ПП} + \lambda_0^{ПП} \cdot \tau))} - \frac{1}{b_1} - (C^{ПП} + \lambda_0^{ПП} \cdot \tau) \right) - \mu_0 \cdot \tau + C_1, & \text{для } \tau \in [0, \tau_1] \\ 1, & \text{для } \tau \in (\tau_1, \tau_2) \\ \frac{4}{27a_2^2 \cdot \lambda_0^{УГ}} \cdot \left(b_2^3 \cdot (C^{УГ} + \lambda_0^{УГ} \cdot \tau) + \frac{3b_2}{C^{УГ} + \lambda_0^{УГ} \cdot \tau} - \frac{1}{(C^{УГ} + \lambda_0^{УГ} \cdot \tau)^2} \right) - \mu_0 \cdot \tau + C_2, & \text{для } \tau \in [\tau_2, \tau_k] \end{cases} \quad (1)$$

где $v_{ко}(\tau)$ – угловая скорость вращения роторов приводных двигателей трамвая в квазиоптимальном режиме (КО), выраженная в относительных единицах; μ_0 – относительный момент нагрузки на валу ротора приводного двигателя; a_1, a_2, b_1, b_2 – коэффициенты математической модели кривой намагничивания двигателя постоянного тока с последовательным возбуждением, представленной совокупностью отрезков прямой и параболы [4]; λ_0 – неопределенный множитель Лагранжа; C, C_1, C_2 – постоянные интегрирования, определяемые из начальных и граничных условий, а также условия прохождения трамваем заданного пути между остановками; τ – безразмерное время; ПР – верхний индекс, относящийся к параметрам движения на участке «пуск – разгон»; УГ – верхний индекс, относящийся к параметрам движения на участке «установившийся режим – торможение».

График движения, заданного моделью (1), представлен на рисунке 1 (верхняя кривая).

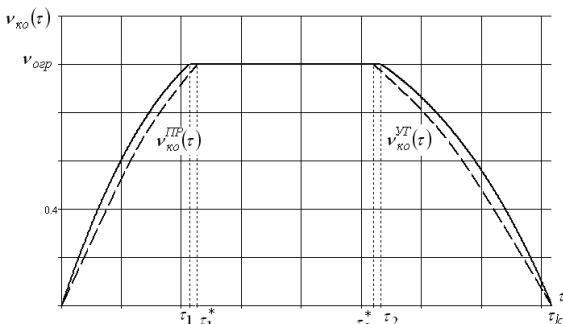


Рис. 1. График квазиоптимальной скорости $v_{ко}(\tau)$ вращения роторов приводных двигателей трамвая с учетом ограничений по скорости (для номинальной скорости $v_{опр} = 1$).

Пусть заданы ограничения на ускорение —

$$\dot{v}_{ко}^{ПП}(0) \leq \dot{v}_0, \quad (2)$$

$$\dot{v}_{ко}^{УГ}(\tau_k) \leq \dot{v}_k, \quad (3)$$

а также на рывок

$$\ddot{v}_{ко}^{ПП}(0) \leq \ddot{v}_0, \quad (4)$$

$$\ddot{v}_{ко}^{УГ}(\tau_k) \leq \ddot{v}_k \quad (5)$$

при трогании ($\tau = 0$) и торможении трамвая ($\tau = \tau_k$).

Установим, как изменится математическая модель (1), если после ее дифференцирования дважды и подстановки в результаты дифференцирования значений

$\tau = 0$ и $\tau = \tau_k$ окажется, что все неравенства (2) – (5) или хотя бы одно из них не будут выполняться.

Для удобства дифференцирования подставим в модель (1) численные значения всех ее параметров $\{a_1, a_2, b_1, b_2, \lambda_0, C, C_1, C_2, \mu\}$ и приведем ее к виду:

$$v_{\text{ко}}(\tau) = \begin{cases} \frac{k_1^{\text{ПР}}}{a_1^{\text{ПР}} + a_2^{\text{ПР}} \cdot \tau} + k_2^{\text{ПР}} + k_3^{\text{ПР}} \cdot \tau, & \tau \in [0, \tau_1], \\ 1, & \tau \in (\tau_1, \tau_2), \\ k_1^{\text{УТ}} + k_2^{\text{УТ}} \cdot \tau + \frac{k_3^{\text{УТ}}}{a_1^{\text{УТ}} + a_2^{\text{УТ}} \cdot \tau} + \frac{k_4^{\text{УТ}}}{(a_1^{\text{УТ}} + a_2^{\text{УТ}} \cdot \tau)^2}, & \tau \in [\tau_2, \tau_k], \end{cases} \quad (6)$$

где k_1, k_2, k_3, k_4 и a_1, a_2 с индексами «ПР» и «УТ» – это числа.

Представим верхнее и нижнее соотношения в модели (6) разложениями в ряды Тейлора в окрестности точек $\tau = 0$ и $\tau = \tau_k$, оставив в этих разложениях только первых три члена, т.е.

$$v_{\text{ко}}^{\text{ПР}}(\tau) \approx v_{\text{ко}}^{\text{ПР}}(0) + \dot{v}_{\text{ко}}^{\text{ПР}}(0) \cdot \tau + \frac{\ddot{v}_{\text{ко}}^{\text{ПР}}(0)}{2} \cdot \tau^2, \quad (7)$$

$$v_{\text{ко}}^{\text{УТ}}(\tau) \approx v_{\text{ко}}^{\text{УТ}}(\tau_k) + \dot{v}_{\text{ко}}^{\text{УТ}}(\tau_k) \cdot (\tau - \tau_k) + \frac{\ddot{v}_{\text{ко}}^{\text{УТ}}(\tau_k)}{2} \cdot (\tau - \tau_k)^2. \quad (8)$$

Из уравнений (7), (8) следует, что

$$\dot{v}_{\text{ко}}^{\text{ПР}}(\tau) \approx \dot{v}_{\text{ко}}^{\text{ПР}}(0) + \ddot{v}_{\text{ко}}^{\text{ПР}}(0) \cdot \tau, \quad (9)$$

$$\ddot{v}_{\text{ко}}^{\text{ПР}}(\tau) \approx \ddot{v}_{\text{ко}}^{\text{ПР}}(0), \quad (10)$$

$$\dot{v}_{\text{ко}}^{\text{УТ}}(\tau) \approx \dot{v}_{\text{ко}}^{\text{УТ}}(\tau_k) + \ddot{v}_{\text{ко}}^{\text{УТ}}(\tau_k) \cdot (\tau - \tau_k), \quad (11)$$

$$\ddot{v}_{\text{ко}}^{\text{УТ}}(\tau) \approx \ddot{v}_{\text{ко}}^{\text{УТ}}(\tau_k), \quad (12)$$

где (в обозначениях модели (6)):

$$v_{\text{ко}}^{\text{ПР}}(0) = \frac{1}{a_1^{\text{ПР}}} \cdot k_1^{\text{ПР}} + k_2^{\text{ПР}} = 0, \quad (13)$$

$$v_{\text{ко}}^{\text{УТ}}(\tau_k) = k_1^{\text{УТ}} + k_2^{\text{УТ}} \cdot \tau_k + \frac{k_3^{\text{УТ}}}{a_1^{\text{УТ}} + a_2^{\text{УТ}} \cdot \tau_k} + \frac{k_4^{\text{УТ}}}{(a_1^{\text{УТ}} + a_2^{\text{УТ}} \cdot \tau_k)^2} = 0, \quad (14)$$

$$\dot{v}_{\text{ко}}^{\text{ПР}}(0) = -\frac{a_2^{\text{ПР}}}{(a_1^{\text{ПР}})^2} \cdot k_1^{\text{ПР}} + k_3^{\text{ПР}}, \quad (15)$$

$$\ddot{v}_{\text{ко}}^{\text{ПР}}(0) = \frac{2 \cdot (a_2^{\text{ПР}})^2 \cdot k_1^{\text{ПР}}}{(a_1^{\text{ПР}})^3}, \quad (16)$$

$$\dot{v}_{\text{ко}}^{\text{УТ}}(\tau_k) = k_2^{\text{УТ}} - \frac{a_2^{\text{УТ}} \cdot k_3^{\text{УТ}}}{(a_1^{\text{УТ}} + a_2^{\text{УТ}} \cdot \tau_k)^2} - \frac{2 \cdot k_4^{\text{УТ}} \cdot a_2^{\text{УТ}}}{(a_1^{\text{УТ}} + a_2^{\text{УТ}} \cdot \tau_k)^3}, \quad (17)$$

$$\ddot{v}_{\text{ко}}^{\text{УТ}}(\tau_k) = \frac{2 \cdot (a_2^{\text{УТ}})^2 \cdot k_3^{\text{УТ}}}{(a_1^{\text{УТ}} + a_2^{\text{УТ}} \cdot \tau_k)^3} + \frac{8 \cdot (a_2^{\text{УТ}})^2 \cdot k_4^{\text{УТ}}}{(a_1^{\text{УТ}} + a_2^{\text{УТ}} \cdot \tau_k)^4}. \quad (18)$$

А теперь предположим, что для модели (6) ограничения по ускорению (2), (3) выполняются, а по рывку (4), (5) не выполняются, т.е. имеет место

$$\dot{v}_{\text{ко}}^{\text{ПР}}(0) > \ddot{v}_0, \quad (19)$$

$$\ddot{v}_{\text{ко}}^{\text{УТ}}(\tau_k) > \ddot{v}_k. \quad (20)$$

Потребуем ограничить рывок значениями \ddot{v}_0 , \ddot{v}_k , что математически отразится равенствами

$$\dot{v}_{\text{ко}}^{\text{ПР}}(0) = \ddot{v}_0, \quad (21)$$

$$\dot{v}_{\text{ко}}^{\text{УТ}}(\tau_k) = \ddot{v}_k. \quad (22)$$

Подставив значения $\dot{v}_{\text{ко}}^{\text{ПР}}(0)$ и $\dot{v}_{\text{ко}}^{\text{УТ}}(\tau_k)$ из (21), (22) в уравнения (7), (8) с учетом соотношений (13), (14), получим:

$$v_{\text{ко}}^{\text{ПР}}(\tau) \approx \dot{v}_{\text{ко}}^{\text{ПР}}(0) \cdot \tau + \frac{\ddot{v}_0}{2} \cdot \tau^2, \quad (23)$$

$$v_{\text{ко}}^{\text{УТ}}(\tau) \approx \dot{v}_{\text{ко}}^{\text{УТ}}(\tau_k) \cdot (\tau - \tau_k) + \frac{\ddot{v}_k}{2} \cdot (\tau - \tau_k)^2. \quad (24)$$

Очевидно, что если начальная и конечная ветви графика кривой $v_{\text{ко}}(\tau)$ будут иметь вид (23), (24) (рис. 1), то ограничения по рывку (4), (5) уже будут выполняться, но вследствие того, что в соотношениях (23), (24) коэффициенты при τ^2 и $(\tau - \tau_k)^2$ будут меньшими, чем в соотношениях (7), (8), эти ветви пройдут ниже соответствующих ветвей модели (6), а точки τ_1 и τ_2 их встречи с ограничением по скорости

$$v_{\text{ко}}(\tau) = v_{\text{огр}} \quad (25)$$

сместятся в положения τ_1^* , τ_2^* (рис. 1), которые легко найти из уравнений

$$v_{\text{огр}} = \dot{v}_{\text{ко}}^{\text{ПР}}(0) \cdot \tau_1^* + \frac{\ddot{v}_0}{2} \cdot (\tau_1^*)^2, \quad (26)$$

$$v_{\text{огр}} = \dot{v}_{\text{ко}}^{\text{УТ}}(\tau_k) \cdot (\tau_1^* - \tau_k) + \frac{\ddot{v}_k}{2} \cdot (\tau_1^* - \tau_k)^2, \quad (27)$$

получаемых подстановкой условия (25) в соотношения (23), (24). Напомним, что для ограничения скорости на номинальном уровне $v_{\text{огр}} = 1$.

Из приведенных выкладок следует, что в рассмотренном случае для формирования квазиоптимального движения электропривода вместо модели (6) следует использовать модель

$$v_{\text{ко}}(\tau) = \begin{cases} \dot{v}_{\text{ко}}^{\text{ПР}}(0) \cdot \tau + \frac{\ddot{v}_0}{2} \cdot \tau^2, & \tau \in [0, \tau_1^*] \\ 1, & \tau \in (\tau_1^*, \tau_2^*) \\ \dot{v}_{\text{ко}}^{\text{УТ}}(\tau_k) \cdot (\tau - \tau_k) + \frac{\ddot{v}_k}{2} \cdot (\tau - \tau_k)^2, & \tau \in [\tau_2^*, \tau_k] \end{cases}. \quad (28)$$

Аналогичным образом строится и алгоритм учета ограничений по ускорению, а также алгоритм учета ограничений одновременно и по ускорению, и по рывку.

Естественно, что при переходе от оптимальной модели к квазиоптимальной нам потребуется большее значение времени τ_k , за которое трамвай реализует перемещение от одной остановки до следующей. Но получение алгоритма его расчета — это уже другая задача, решение которой будет представлено в последующих публикациях.

Выводы. Предложен метод, с помощью которого получены математические модели квазиоптимального движения роторов приводных двигателей трамвая, учитывающие ограничения по скорости, ускорению и рывку.

Литература.

1. Мокін Б.І., Мокін О.Б. Математичні моделі в задачі оптимізації електропривода трамвая при його сталому навантаженні // Вісник Вінницького політехнічного інституту. – 2004. – № 2. – С. 57–61.
2. Мокін Б.І., Мокін О.Б. Друга ітерація алгоритму побудови математичних моделей в задачі оптимізації електропривода трамвая при його сталому навантаженні // Вісник Вінницького політехнічного інституту. – 2004. – № 5. – С. 43–49.
3. Мокін Б.І., Мокін О.Б. Квазиоптимальний закон зміни кутової швидкості обертання вала ротора електро-двигуна постійного струму послідовного збудження системи електропривода трамвая в режимі сталого навантаження // Вісник Вінницького політехнічного інституту. – 2007. – № 2. – С. 29–33.
4. Мокін Б.І., Мокін О.Б. Математична модель кривої намагнічування електричного двигуна постійного струму з послідовним збудженням для задач оптимізації // Вісник Вінницького політехнічного інституту. – 2004. – № 1. – С. 45–47.